

SISTEMAS NANOESTRUTURADOS

CONFINAMENTO ELETRÔNICO

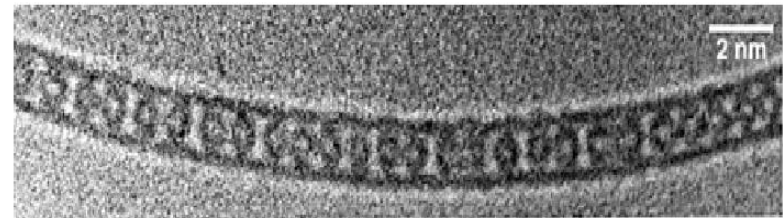
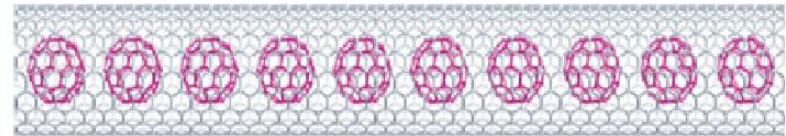
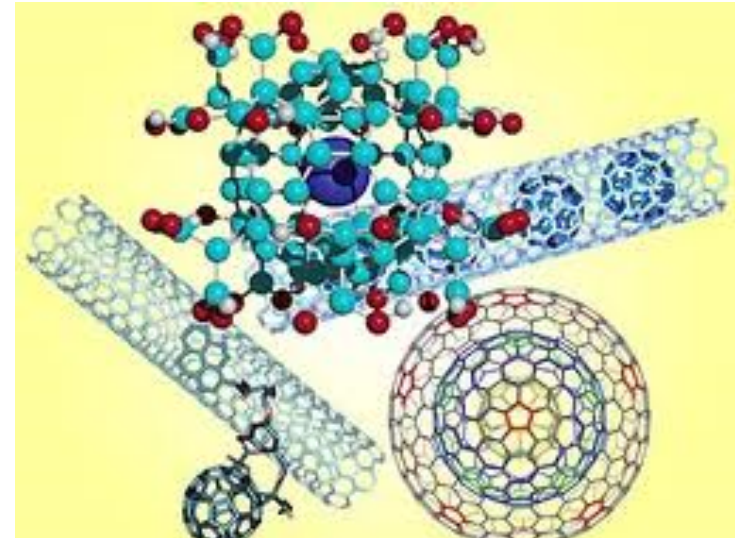
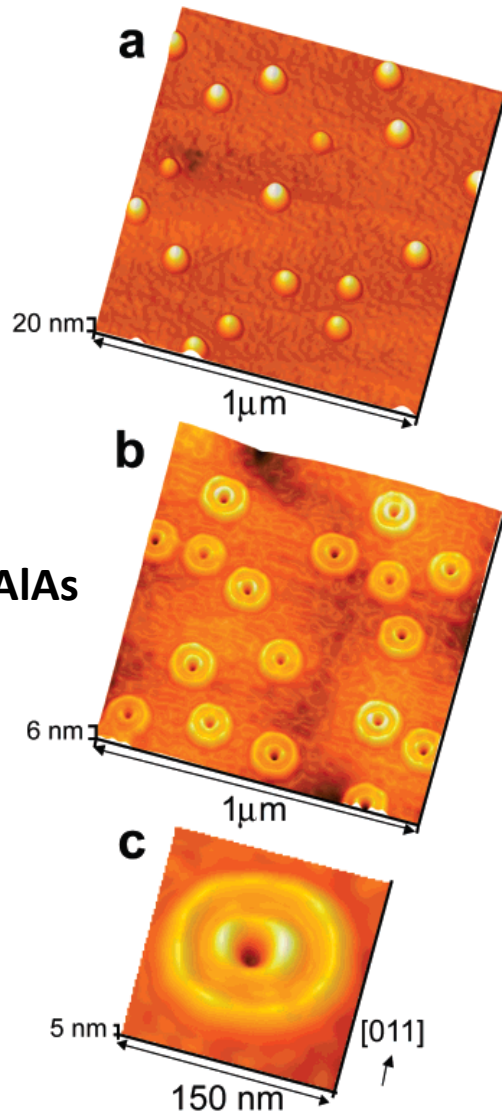


INSTITUTO DE FÍSICA
Universidade Federal Fluminense



ANÉIS QUÂNTICOS – FULLERENOS - NANOTUBOS

GaAs-GaAlAs



Mano T et al 2005 Nano Lett. 5, 425





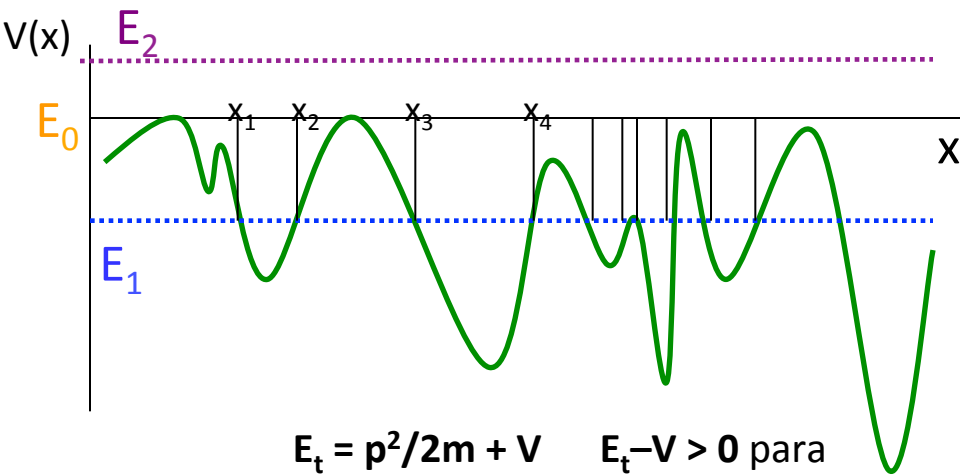
Um condutor macroscópico ususalmente apresenta um **comportamento Ohmic**

CONDUTÂNCIA $\Gamma = \sigma w/L$ (w, L = largura e comprimento, σ = condutividade independente do tamanho)

Este cenário muda quando consideramos o transporte eletrônico em **nanoestruturas**.

Delocalização (tunelamento) & **localização** (interferências destrutivas)

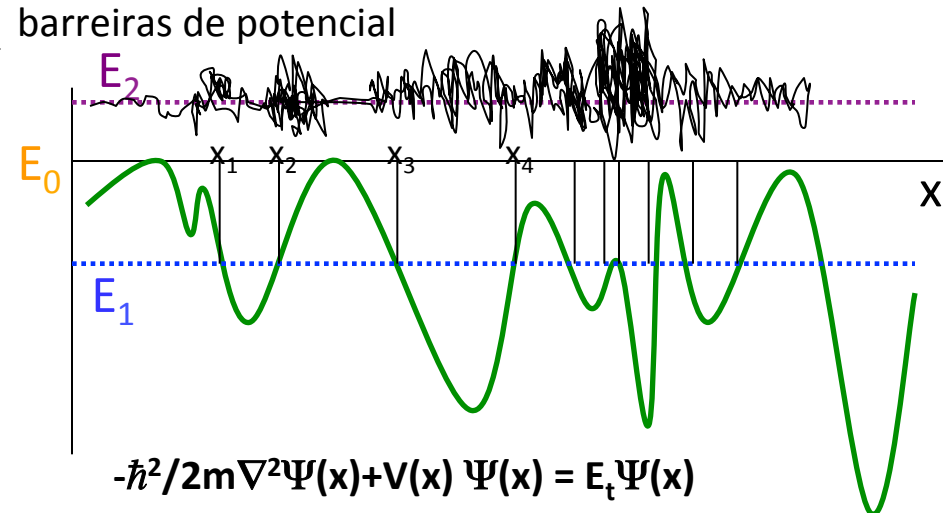
PARTÍCULAS CLÁSSICAS



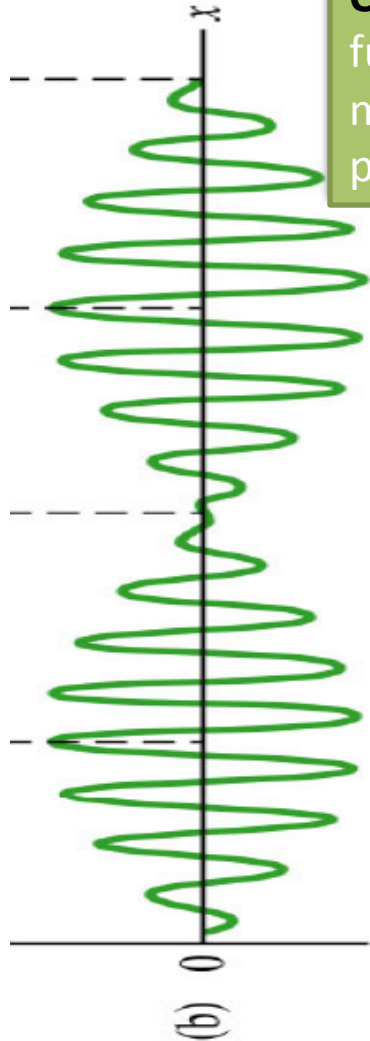
PARTÍCULAS QUÂNTICAS

Efeitos Quânticos

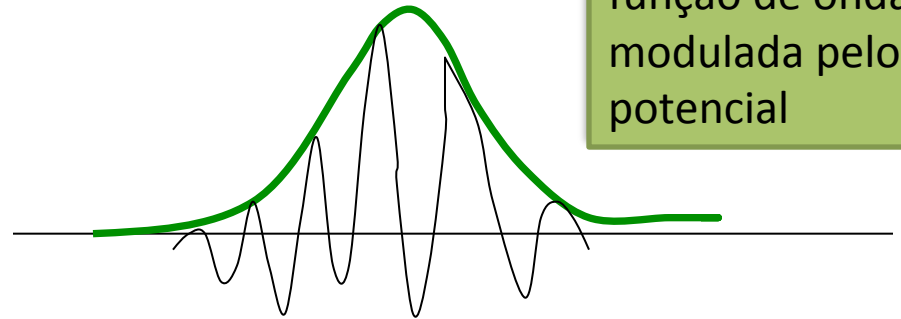
Tunelamento de partículas através das barreiras de potencial



Onda estendida
função de onda
modulada pelo
potencial



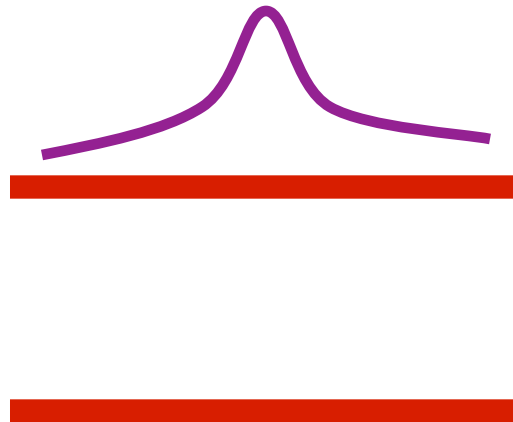
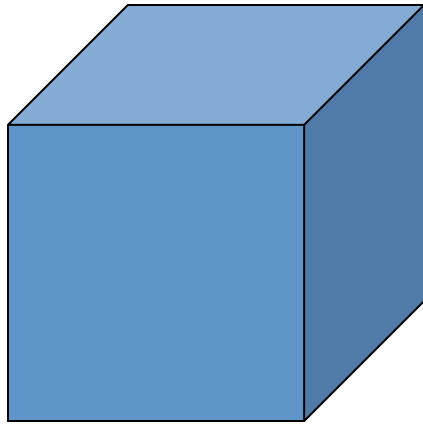
Onda localizada
função de onda
modulada pelo
potencial



MACROSCÓPICO X MICROSCÓPICO

- ➔ Para manifestar a natureza ondulatória – excitações eletrônicas devem se propagar segundo a MQ (com coerência de fase) entre os bordos do dispositivo
- ➔ Típicos **fenômenos de interferência** ocorrem quando um dos comprimentos é comparável com o comprimento de onda de de Broglie
- ➔ **CONDIÇÃO** para se ter a coerência Quântica:
 - Encolhimento das escalas de comprimento dos dispositivos e/ou
 - Redução da T até que a energia de excitação mínima se torne grande comparável com a energia térmica $K_B T$





Comprimentos da caixa

- L Tamanho do sistema
- l livre caminho médio
- ξ Comprimento de localização
- $L\varphi$ Comprimento de coerência

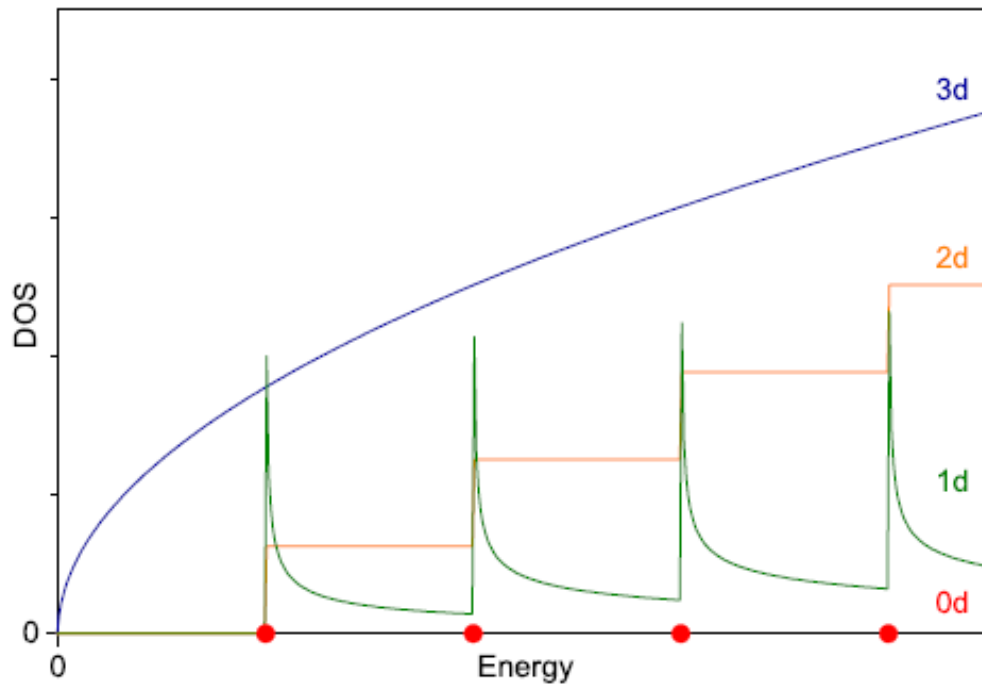
Se $l \gg L$ entre voltagens aplicadas – os portadores se propagam de forma **balística** ➔ efeitos de contato são importantes (Landauer formalism)



MESOSCÓPICO meso=Intermediária entre MICROSCÓPICA (detalhes atômicos) details) & MACROSCOPIC (bulk behavior-Ohm's law)

MUDANÇAS DRÁSTICAS QUANDO OCORRE REDUÇÃO DA DIMENSIONALIDADE

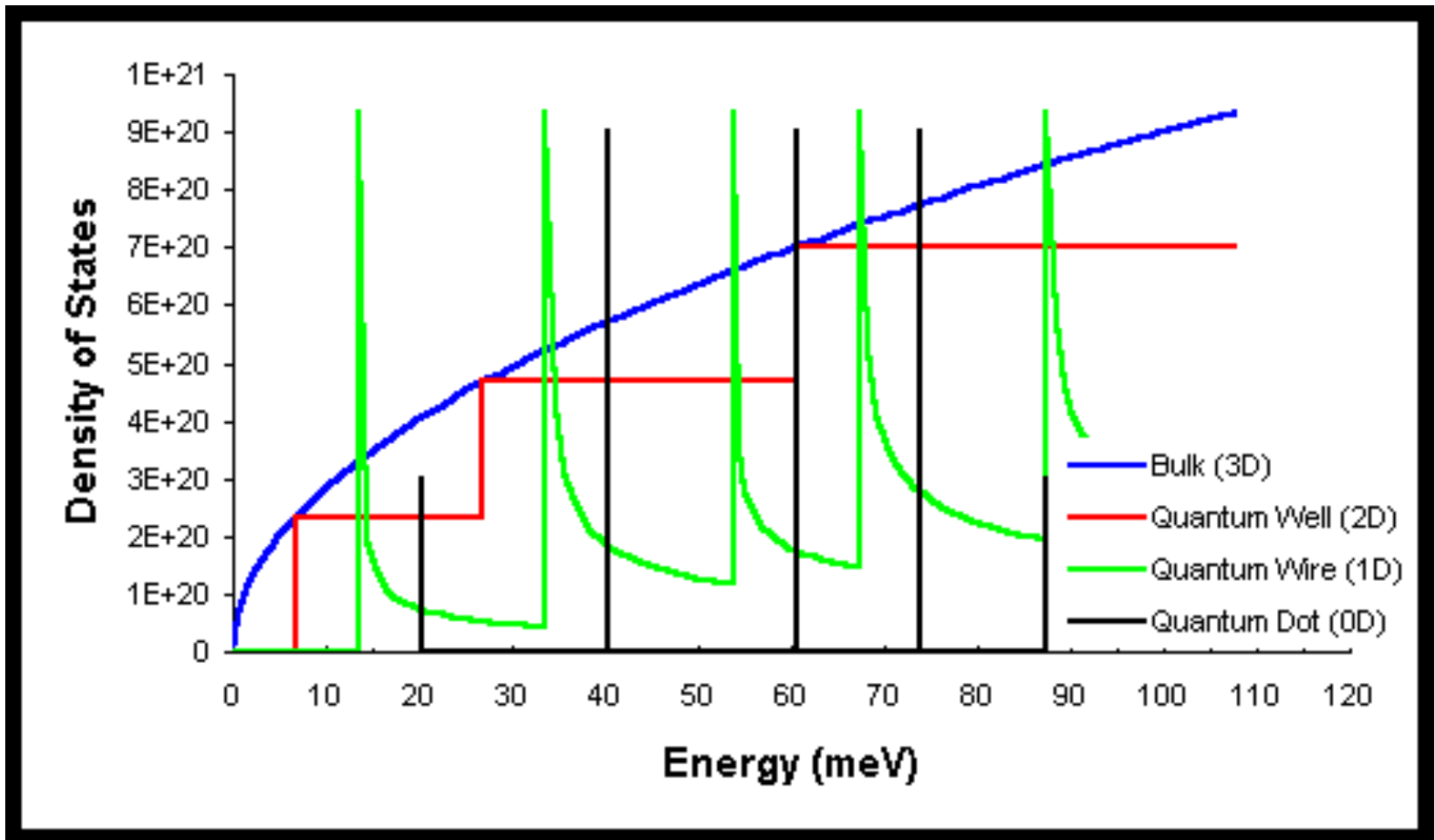
➔ NOVOS FENÔMENOS QUÂNTICOS



PROPRIEDADES ELETRÔNICAS – DOS
Densidade de estados

Figure 4.7: Sketch of the density of states in low dimensional systems obtained via eq. (4.15).

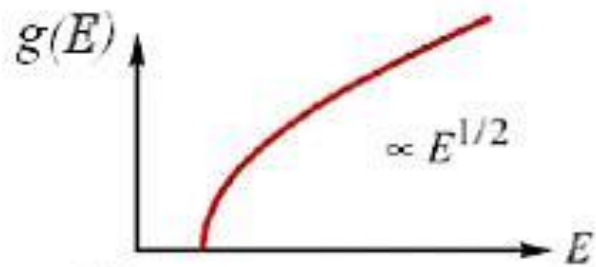




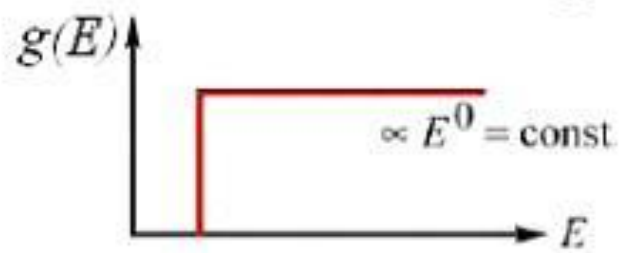
DENSIDADE DE ESTADOS ELETRÔNICOS EM SISTEMAS 1D, 2D, 3D



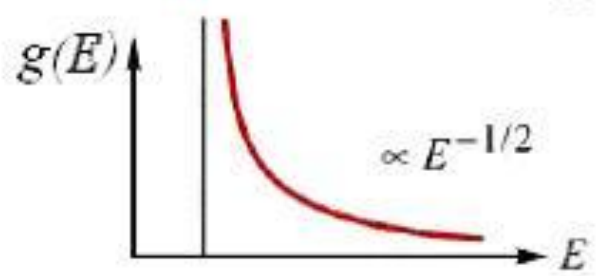
3-D (bulk)
$$g(E) = \frac{1}{2\pi^2} \left(\frac{2m^*}{\hbar^2} \right)^{\frac{3}{2}} \sqrt{E_g - E}$$



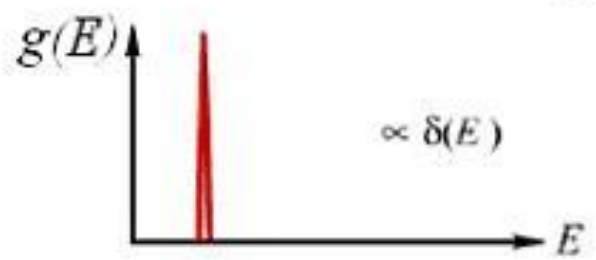
2-D (slab)
$$g(E) = \frac{m^*}{\pi\hbar^2} \sigma(E_g - E)$$



1-D (wire)
$$g(E) = \frac{m^*}{\pi\hbar} \sqrt{\frac{m^*}{2(E_g - E)}}$$



0-D (dot)
$$g(E) = 2\delta(E_g - E)$$



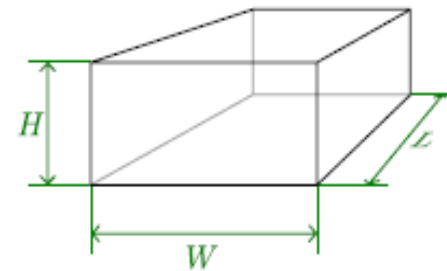
DIMENSIONALIDADE & CONFINAMENTO ELETRÔNICO

Estrutura de banda determina $E(k) \times k$ $E_F - k_F$ $\lambda_F = 2\pi/k_F$

Quando o tamanho da amostra é da ordem de λ_F

➔ **ESPECTRO DE ENERGIA QUANTIZADA**

GAS ELETRÓN LIVRE NUMA CAIXA: W - L - H



(A) 3D V

$$\rho^{3D}(E) = 2 \frac{V}{(2\pi)^3} \int d^3k \delta(E - E(k)) = \frac{V}{h^3 \pi^2} \sqrt{2m^3 E}$$

(B) 2D $H \sim \lambda_F$ confinamento em z

$$k_z = \frac{\pi n_z}{H}$$

$$\rho^{2D}(E) = \frac{W L m}{h^2 \pi^2} \sum_{n_z} \Theta(E - E_{n_z})$$

$$E_{n_z} = \frac{(h\pi n_z)^2}{2mH^2}$$

QW



(C) 2D $H, L \sim \lambda_F$
 confinamento em z, y

$$\rho^{1D}(E) = \frac{L\sqrt{2m}}{h\pi} \sum_{n_y, n_z} (E - E_{n_y} - E_{n_z})^{-1/2}$$

QWW

(D) 3D $H, L, W \sim \lambda_F$
 confinamento em z, y, x

$$\rho^{0D}(E) = 2 \sum_{n_x, n_y, n_z} \delta(E - E_{n_x} - E_{n_y} - E_{n_z})$$

QD

